

ISSN 1000-0933
CN 11-2031/Q

生态学报

Acta Ecologica Sinica



第31卷 第23期 Vol.31 No.23 2011

中国生态学学会
中国科学院生态环境研究中心
科学出版社

主办
出版



中国科学院科学出版基金资助出版

生态学报 (SHENTAI XUEBAO)

第 31 卷 第 23 期 2011 年 12 月 (半月刊)

目 次

不同海拔高度高寒草甸光能利用效率的遥感模拟.....	付 刚,周宇庭,沈振西,等 (6989)
天山雪岭云杉大气花粉含量对气温变化的响应.....	潘燕芳,阎 顺,穆桂金,等 (6999)
春季季风转换期间孟加拉湾的初级生产力.....	刘华雪,柯志新,宋星宇,等 (7007)
降水量对川西北高寒草甸牦牛粪分解速率的影响	吴新卫,李国勇,孙书存 (7013)
基于 SOFM 网络对黄土高原森林生态系统的养分循环分类研究.....	陈 凯,刘增文,李 俊,等 (7022)
不同油松种源光合和荧光参数对水分胁迫的响应特征	王 琨,陈建文,狄晓艳 (7031)
盐生境下硅对坪用高羊茅生物学特性的影响	刘慧霞,郭兴华,郭正刚 (7039)
高温胁迫对不同种源希蒙得木叶片生理特性的影响.....	黄激激,张念念,胡庭兴,等 (7047)
黄土高原水土保持林对土壤水分的影响	张建军,李慧敏,徐佳佳 (7056)
青杨雌雄群体沿海拔梯度的分布特征.....	王志峰,胥 晓,李霄峰,等 (7067)
大亚湾西北部春季大型底栖动物群落特征.....	杜飞雁,林 钦,贾晓平,等 (7075)
湛江港湾浮游桡足类群落结构的季节变化和影响因素.....	张才学,龚玉艳,王学锋,等 (7086)
台湾海峡鮈鱼种群遗传结构.....	张丽艳,苏永全,王航俊,等 (7097)
洱海入湖河流弥苴河下游氮磷季节性变化特征及主要影响因素.....	于 超,储金宇,白晓华,等 (7104)
转基因鱼试验湖泊铜锈环棱螺种群动态及次级生产力.....	熊 晶,谢志才,蒋小明,等 (7112)
河口湿地植物活体-枯落物-土壤的碳氮磷生态化学计量特征	王维奇,徐玲琳,曾从盛,等 (7119)
EDTA 对铅锌尾矿改良土壤上玉米生长及铅锌累积特征的影响	王红新,胡 锋,许信旺,等 (7125)
不同包膜控释尿素对农田土壤氨挥发的影响.....	卢艳艳,宋付朋 (7133)
垄作栽培对高产田夏玉米光合特性及产量的影响.....	马 丽,李潮海,付 景,等 (7141)
DCD 不同施用时间对小麦生长期 N ₂ O 排放的影响	纪 洋,余 佳,马 静,等 (7151)
氮肥、钙肥和盐处理在冬小麦融冻胁迫适应中的生理调控作用	刘建芳,周瑞莲,赵 梅,等 (7161)
东北有机及常规大豆对环境影响的生命周期评价	罗 燕,乔玉辉,吴文良 (7170)
土壤施硒对烤烟生理指标的影响.....	许自成,邵惠芳,孙曙光,等 (7179)
不同种植方式对花生田间小气候效应和产量的影响.....	宋 伟,赵长星,王月福,等 (7188)
西花蓟马的快速冷驯化及其生态学代价.....	李鸿波,史 亮,王建军,等 (7196)
温度对麦长管蚜体色变化的影响.....	邓明丽,高欢欢,李 丹,等 (7203)
不同番茄材料对 B 型烟粉虱个体发育和繁殖能力的影响	高建昌,郭广君,国艳梅,等 (7211)
基于生态系统受扰动程度评价的白洋淀生态需水研究.....	陈 贺,杨 盈,于世伟,等 (7218)
两种典型养鸡模式的能值分析	胡秋红,张力小,王长波 (7227)
四种十八碳脂肪酸抑藻时-效关系分析的数学模型设计	何宗祥,张庭廷 (7235)
流沙湾海草床重金属富集特征.....	许战州,朱艾嘉,蔡伟叙,等 (7244)
基于 QuickBird 的城市建筑景观格局梯度分析	张培峰,胡远满,熊在平,等 (7251)
景观空间异质性及城市化关联——以江苏省沿江地区为例	车前进,曹有挥,于 露,等 (7261)
基于 CVM 的太湖湿地生态功能恢复居民支付能力与支付意愿相关研究.....	于文金,谢 剑,邹欣庆 (7271)
专论与综述	
北冰洋海域微食物环研究进展.....	何剑锋,崔世开,张 芳,等 (7279)
城市绿地的生态环境效应研究进展.....	苏泳娴,黄光庆,陈修治,等 (7287)
城市地表灰尘中重金属的来源、暴露特征及其环境效应	方凤满,林跃胜,王海东,等 (7301)
研究简报	
三峡库区杉木马尾松混交林土壤 C、N 空间特征	林英华,汪来发,田晓堃,等 (7311)
广州小斑螟发生与环境因子的关系	刘文爱,范航清 (7320)

期刊基本参数:CN 11-2031/Q * 1981 * m * 16 * 336 * zh * P * ¥ 70.00 * 1510 * 39 * 2011-12



封面图说:黄河的宁夏段属于中国的半荒漠地区,这里气候干燥、降水极少(250mm 以下)、植被缺乏、物理风化强烈、风力作用强劲、其蒸发量超过降水量数十倍。人们从黄河中提水引水灌溉土地,就近形成了荒漠中的绿洲。有水就有生命,有水就有绿色。这种独特的条件形成了人与沙较量的生态关系——不是人逼沙退就是沙逼人退。

彩图提供:陈建伟教授 国家林业局 E-mail: cites.chenjw@163.com

杜飞雁, 林钦, 贾晓平, 杨圣云, 马胜伟, 陈海刚, 李纯厚. 大亚湾西北部春季大型底栖动物群落特征. 生态学报, 2011, 31(23): 7075-7085.
Du F Y, Lin Q, Jia X P, Yang S Y, Ma S W, Chen H G, Li C H. Analysis on the characteristics of macrobenthos community in the North-west Daya Bay of South China Bay in spring. Acta Ecologica Sinica, 2011, 31(23): 7075-7085.

大亚湾西北部春季大型底栖动物群落特征

杜飞雁^{1,2}, 林钦^{1,*}, 贾晓平¹, 杨圣云², 马胜伟¹, 陈海刚¹, 李纯厚¹

(1. 中国水产科学研究院南海水产研究所, 广州 510300; 2. 厦门大学海洋与环境学院博士后流动站, 厦门 361005)

摘要: 利用 2008 年春季在大亚湾西北部海域开展的 12 个测站的大型底栖动物调查资料, 对该海域大型底栖动物的群落特征进行分析。结果表明该海域内大型底栖动物优势种由粗帝汶蛤 (*Timoclea scabra*)、波纹巴非蛤 (*Paphia undulata*)、上野螺羸耋 (*Corophium uenoi*)、方背鳞虫 (*Lepidonotus squamatus*)、刀明櫻蛤 (*Moerella culter*) 和角海蛹 (*Ophelia acuminata*) 等 6 种组成; 可划分为 4 个群落, 群落Ⅱ和群落Ⅰ为主体群落, 群落Ⅲ和群落Ⅳ分布区较小, 群落间差异较大。大型底栖动物数量上以个体较大的软体动物占优, 但群落的组成则以多毛类和甲壳类为主, 其组成情况基本上反映了群落的特征。群落Ⅰ以多毛类-甲壳类为表征, 群落Ⅱ则以甲壳类-多毛类-软体动物为表征。栖息环境的差异, 是造成群落间差异的主要原因; 群落多样性水平呈群落Ⅲ>群落Ⅱ>群落Ⅰ>群落Ⅳ, 沉积环境的污染状况和人为扰动是影响多样性水平的主要因素; 群落整体的稳定性较好, 未受到明显的扰动, 但分布于航道区域和渔业生产作业区的群落Ⅳ和群落Ⅲ, 在航道建设、疏浚和渔业生产的影响下, 群落受到一定程度的扰动, 稳定性较弱。

关键词: 大型底栖动物; 群落特征; 春季; 大亚湾西北部

Analysis on the characteristics of macrobenthos community in the North-west Daya Bay of South China Bay in spring

DU Feiyan^{1,2}, LIN Qin^{1,*}, JIA Xiaoping¹, YANG Shengyun², MA Shengwei¹, CHEN Haigang¹, LI Chunhou¹

1 South China Sea Fisheries Research Institute, Chinese Academy of Fishery Sciences, Guangzhou 510300, China

2 Post-doctor Research Station, College of Oceanography and Environmental Science, Xiamen University, Xiamen 361005, China

Abstract: Based on the data collected from 12 research stations in the North-west Daya Bay, South China Sea in spring 2008, the characteristics of macrobenthos community were examined. The results showed that the dominant macrobenthic species were *Timoclea scabra*, *Paphia undulata*, *Corophium uenoi*, *Lepidonotus squamatus*, *Moerella culter* and *Ophelia acuminata*. The macrobenthos community could be divided into four groups with notable differences. Group I and II were the dominant groups, while the distribution areas of Groups III and IV were relatively small. Overall, molluscs was dominant in quantity in the macrobenthos community but the community was mainly composed of Annelida and Arthropoda, reflecting the characteristics of the community. The dominant macrobenthic species of group I were *Timoclea scabra*, *Nephrys oligobranchia*, *Theora lata*, *Sigambra hanaokai*, *Glycinde gurjanvae*, *Prionospio malmgreni*, *Timoclea scabra*, *Turritella bacillum*, *Corophium tridentium*, *Phyllodocidae* und., *Nectoneanthes alatopalpis*, *Erithonius pugnax*, *Pseudopythina* sp. and *Stylochus ijimai*. Species belonging to this group distributed in the nearshore area of Aotou Harbor and Nanhai Petrochemicals Basement Group II assemblage includes *Paphia undulata*, *Timoclea scabra*, *Corophium uenoi*, *Prionospio malmgreni*, *Sigambra hanaokai*, *Ophelia acuminata*, *Mediomastus* sp., *Nephrys oligobranchia*, *Moerella culter*, *Corophium lamellatum*, *Paraprionospio pinnata* and *Prionospio pulchra*. These species distributed mainly around the

基金项目: 中央级公益性科研院所基本科研业务费专项基金(2007ZD08, 2007TS08, 2010YD10)

收稿日期: 2010-10-09; **修订日期:** 2011-04-11

* 通讯作者 Corresponding author. E-mail: linqinscs@21cn.com.

Chunzhou Island where suspended long line culture of oyster was common. The discriminating species for Group I were *S. hanaokai*, *N. soligobranchia*, *P. malmgreni*, *N. alatopalpis* and *E. pugnax* while group II were *C. uenoi*, *P. malmgreni*, *S. hanaokai*, *N. oligobranchia*, *T. scabra*, *M. sp.*, *Phyllodocidae* und., *P. pinnata*, *O. acuminata*, *C. lamellatum*, *M. culter* and *Chaetozone* sp. Group III assemblage were mainly found in the west side of Mabianzhou, where it was a fishing ground for Arthropoda in Daya Bay. Group IV was distributed in area where main shipping routes passed through, in the east side of area of Group II and in between the area of Group I and III. For each community group, while group II Group I was dominated by Annelida and Arthropoda while Group II was dominated by arthropoda, annelida and mollusca; such difference is mainly because of the difference in habitat conditions. Diversity of macrobenthos community was highest in Group III, followed by Group II, Group I and then Group IV. Poor habitat condition caused by pollution, sedimentation and other human disturbances were the main reasons for the differences in diversity between groups. In general, macrobenthos community in the North-west Daya Bay of South China Sea was stable in spring. However, community structure of Groups IV and III, which distributed in the main navigation route and fishing grounds, were less stable; suggesting the disturbances from maintenance of navigation channel and fishing activities might have reduced community stability.

Key Words: North-west Daya Bay; spring; macrobenthos; community characteristics

位于我国南海北部大陆架的大亚湾,东邻红海湾,西接珠江口,是广东省内较大海湾之一。大亚湾岸线曲折、湾内岛屿众多,生境复杂、多样,有丰富的生物资源和极高的生物多样性,1983年成立省级水产资源自然保护区。因其独特的地理位置和丰富的资源,在20世纪90年代后,大亚湾经济也进入了一个快速发展的时期。因过渡人为扰动,目前大亚湾生态系统正经历着快速退化的进程^[1-2]。而人为的开发和扰动活动,主要集中在大亚湾湾顶附近区域。大亚湾西北部西侧是大亚湾最大的港口-惠州港,其年吞吐能力达1600万t以上,是国家一类口岸。其东北侧是大亚湾(国家级)经济技术开发区,辖陆地面积265km²,海域面积488km²,该区域内有亚洲最大的石化投资项目-南海石化项目。西北部纯州周围海域有大面积的太平洋牡蛎养殖区。栖息于底质中的底栖生物,因其活动能力弱,生活相对稳定、对海洋环境反应敏感,长期以来一直作为监测人为扰动造成对生态系统变化的主要研究对象^[3]。经研究表明,湾顶区域大型底栖动物的群落稳定状况最差,处于明显的扰动状态之中^[4]。而湾顶附近区域人类活动的扰动强度、类型均有所差异,通过对湾顶西北部大型底栖动物群落特征的研究,以深入了解不同类型人类活动对海洋生态系统的扰动情况,也可为该区域大型底栖动物群落的变化研究,提供可靠的背景资料。

1 材料与方法

1.1 站位设置及取样方法

2008年3月12日在大亚湾西北部海域设置12个测站对大型底栖动物进行了定量采样,站位分布见图1,各调查站位地理坐标见表1。采样使用取样面积为0.1m²的抓斗式采泥器,每站取样2次,合并为1个样品,用0.5mm孔径的网筛分选样品。样品的处理、保存、计数等均按《海洋调查规范》^[5]操作。

表1 调查站位地理坐标

Table 1 Geographical positions of the sampling stations

站号 Station	经度 Longitude	纬度 Latitude	站号 Station	经度 Longitude	纬度 Latitude
S1	114°32'56.01"E	22°41'3.27"N	S2	114°34'18.02"E	22°43'23.18"N
S3	114°34'46.35"E	22°42'36.95"N	S4	114°34'51.35"E	22°41'47.32"N
S5	114°34'35.70"E	22°40'52.71"N	S6	114°35'33.31"E	22°43'7.74"N
S7	114°36'7.55"E	22°42'25.91"N	S8	114°36'10.70"E	22°41'45.19"N
S9	114°36'11.96"E	22°40'53.40"N	S10	114°37'28.90"E	22°44'4.61"N
S11	114°38'1.44"E	22°40'13.74"N	S12	114°39'55.90"E	22°42'15.32"N

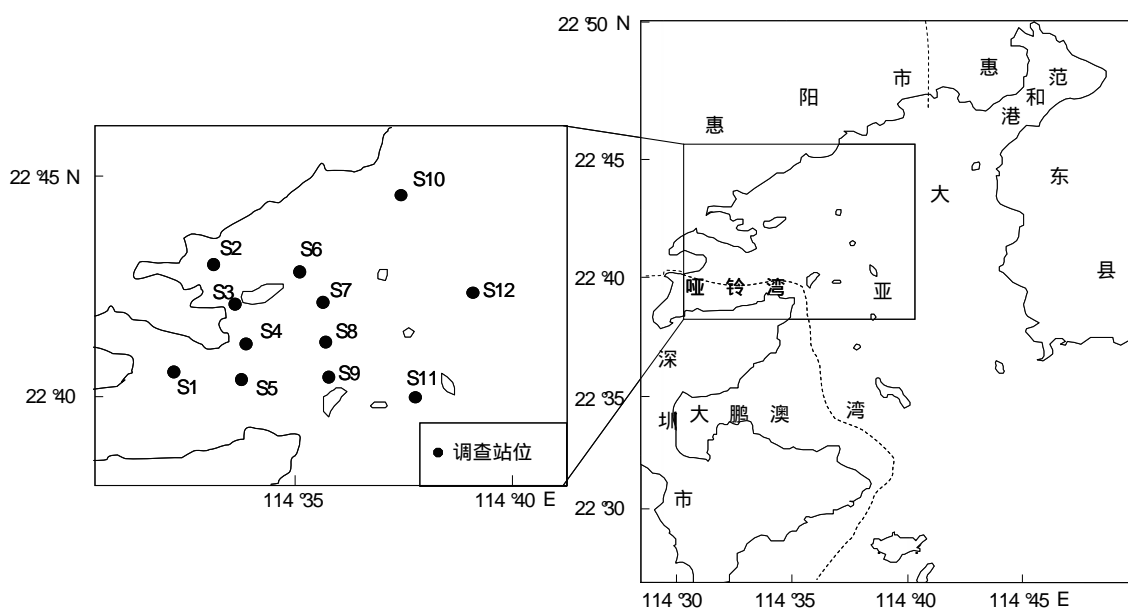


图1 调查站位设置示意图

Fig. 1 Sketch map of sampling stations

1.2 数据统计及分析

大型底栖动物群落结构的多变量分析采用非参数多变量群落结构分析方法,为减少机会种对群落结构的干扰,首先根据丰度四次方根转换计算的 Bray-Curtis 相似性矩阵,应用组间平均聚类分析和非度量多维标度排序 MDS(Non-metric multi-dimensional scaling) 分析来研究群落结构^[6-9]。SIMPER (Species contributions to similarity) 分析用于分析造成各组内群落结构相似的典型种以及造成不同组之间群落结构差异的分歧种。通过丰度生物量法 ABC 曲线(Abundance-Biomass Comparison curves)对群落的稳定性和受扰动状况进行分析。

采用相对重要性指数确定群落中的优势种,相对重要性指数: $IRI = (W + N) \times F$; W 为某一种的生物量占大型底栖动物总生物量的百分比; N 为该种的丰度占大型底栖动物总丰度的百分比; F 为该种的出现频率。

采用 Margalef 种类丰富度指数 R 、Shannon-Wiener 指数 H' 以及 Pielou 均匀度 J 来研究大型底栖生物群落多样性。Margalef 种类丰富度指数 R 计算式为: $D = (S - 1)/\ln N$; Shannon-Wiener 指数: $H' = - \sum_{i=1}^S P_i \log_2 P_i$; Pielou 均匀度: $J = H'/\log_2 S$; 式中, S 为样品中的种类总数, P_i 为第 i 种的个体数(n_i)与总个体数(N)的比值(n_i/N)。

2 结果

2.1 群落组成

春季大亚湾西北部海域共采集到底栖生物 117 种,其中,多毛类 62 种,软体动物 13 种,节肢动物 31 种,其它动物 11 种,分别占总种数的 53%、11%、26% 和 9%。平均生物量为 122.77 g/m²,平均丰度为 783 个/m²。软体动物占总生物量比例最高,其次为多毛类动物。软体动物的生物量为 106.11 g/m²,占总生物量的 86.4%;多毛类动物的生物量为 10.48 g/m²,占 7.5%;节肢动物生物量为 4.86 g/m²,占 1.8%;而节肢动物和多毛类动物在总丰度中所占比例较高,其数量分别为 293 个/m²、292 个/m²,占总丰度的 37.4%、37.2%,软体动物平均丰度为 182 个/m²,占 23.2%,棘皮动物等其它类群所占比例最低,见表 2。

2.2 群落划分

聚类分析和 MDS 分析表明,春季大亚湾西北部海域大型底栖动物可划分为 4 个群落。S1 和 S10 站组成群落 I,S2、S3、S4、S5、S6、S7、S8 和 S9 站组成群落 II,S11 站形成群落 III,S12 站形成群落 IV。MDS 分析的 stress=0.1, 表明该结果较好地反映了样本间的相似关系(图 2)。One-way ANOSIM 检验表明,各群落间的差

异极为显著($R=0.953, P=0.001$)。

表2 底栖生物各类群的数量

Table 2 The abundance and biomass of marcofauna in North-west Daya Bay

	软体动物 Mollusca	多毛类 Annelida	节肢动物 Arthropoda	其它动物 Others	总计 Total
W	106.11	10.48	4.86	1.32	122.77
W/%	86.4	7.5	1.8	0.2	100
N	182	292	293	16	783
N/%	23.2	37.2	37.4	2.1	100

W,N,W%,N%分别表示平均生物量(g/m^2)和平均丰度(个/ m^2)及其占总量的百分比

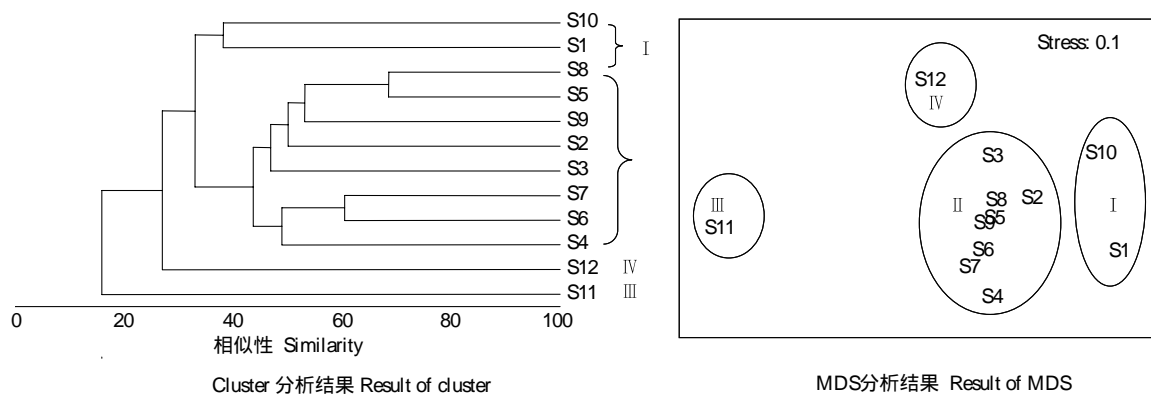


图2 大亚湾西北部大型底栖动物群落结构的聚类分析和序列分析

Fig. 2 Cluster and MDS ordination of macrofauna in North-west of Daya Bay

2.3 空间分布

群落Ⅰ由分散在澳头港和南海石化基地以南的2处近岸区域组成。群落Ⅱ为主体群落,分布于湾顶西北部围绕着纯州的大部分水域内。群落Ⅳ分布于群落Ⅱ东侧区域内,群落Ⅲ分布于马鞭州西侧海域内,见图3。

2.4 优势种和特征种组成

2.4.1 全海域优势种组成

春季,大亚湾西北部海域大型底栖生物优势种由粗帝汶蛤、波纹巴非蛤、上野螺羸董、方北鳞虫、刀明樱蛤和角海蛹等6种组成($IRI>1$ 为划分标准),见表3。粗帝汶蛤($IRI=36.5$)为第一优势种,其出现频率高达83%,在总生物量和丰度中所占比重分别为25.66%和18.12%;波纹巴非蛤在总生物量和丰度中所占比重分别为54.177%和1.73%,为第二优势种;上野螺羸董在75%的测站中均有出现,其数量占总生物量和丰度的0.12%和18.12%,为第三优势种,其它优势种在总量中所占比例相对较低。

2.4.2 群落优势种组成

因群落Ⅲ和群落Ⅳ均由一个站位的底栖生物构成,无法进行优势种和特征种的分析,以下仅对群落Ⅰ和群落Ⅱ进行优势种和特征种组成分析。

如表4所示,群落的优势种组成远较全海域复杂,优势种组成之间也存在较大的差异。群落Ⅰ有14个优势种,除波纹巴非蛤和粗帝汶蛤是全海域的优势种外,其它均为群落Ⅰ的独有优势种;群落Ⅱ有12种优势种,

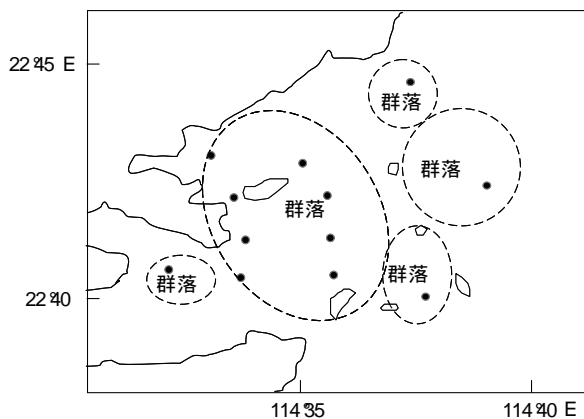


图3 群落空间分布示意图

Fig. 3 The spatial distribution of macrobenthic groups

其中5种与全海域的优势种组成相同。群落Ⅰ与群落Ⅱ共同优势种仅有5种,表明群落间的差异较为明显。虽然群落Ⅰ与群落Ⅱ的第一优势种均为软体动物波纹巴非蛤,但优势种中均以多毛类占优。群落Ⅰ的优势种组成中有寡鳃卷吻沙蚕、花冈钩毛虫和寡节甘吻沙蚕等6种多毛类,群落Ⅱ有丝鳃稚齿虫、花冈钩毛虫和角海蛹等7种多毛类,但群落Ⅱ中多毛类的优势地位低于群落Ⅰ。

表3 底栖生物优势种组成

Table 3 The dominating macrobenthic species in North-west Daya Bay in spring

种类 Species	IRI	W	W/%	N	N/%	F
粗帝汶蛤 <i>Timoclea scabra</i>	36.5	31.50	25.66	143.8	18.12	83
波纹巴非蛤 <i>Paphia undulata</i>	23.2	66.50	54.17	13.8	1.73	42
上野螺羸蜚 <i>Corophium uenoi</i>	13.7	0.12	0.10	143.8	18.12	75
方背鳞虫 <i>Lepidonotus squamatus</i>	1.6	0.01	0.01	0.8	9.66	17
刀明樱蛤 <i>Moerella culter</i>	1.4	2.43	1.98	7.1	0.89	50
角海蛹 <i>Ophelia acuminata</i>	1.4	2.89	2.35	8.8	0.05	58

W,N,W%,N%分别表示平均生物量(g/m²)和平均丰度(个/m²)及其占总量的百分比,F表示出现频率

表4 群落优势种组成

Table 4 The dominating macrobenthic species in different groups

群落 I Group I	IRI	群落 II Group II	IRI
种类 Species	IRI	种类 Species	IRI
波纹巴非蛤 <i>Paphia undulata</i>	32.1	波纹巴非蛤 <i>Paphia undulata</i>	31.9
寡鳃卷吻沙蚕 <i>Nephtys oligobranchia</i>	16.8	粗帝汶蛤 <i>Timoclea scabra</i>	24.6
侧底理蛤 <i>Theora lata</i>	16.1	上野螺羸蜚 <i>Corophium uenoi</i>	22.1
花冈钩毛虫 <i>Sigambra hanaokai</i>	15.1	丝鳃稚齿虫 <i>Prionospio malmgreni</i>	13.3
寡节甘吻沙蚕 <i>Glycinde gurjanvae</i>	6.8	花冈钩毛虫 <i>Sigambra hanaokai</i>	11.6
丝鳃稚齿虫 <i>Prionospio malmgreni</i>	4.8	角海蛹 <i>Ophelia acuminata</i>	3.8
粗帝汶蛤 <i>Timoclea scabra</i>	4.8	中蜊虫 <i>Mediomastus</i> sp.	3.4
棒锥螺 <i>Turritella bacillum</i>	4.7	寡鳃卷吻沙蚕 <i>Nephtys oligobranchia</i>	3.3
三齿螺羸蜚 <i>Corophium tridentium</i>	4.0	刀明樱蛤 <i>Moerella culter</i>	2.2
<i>Phyllodocidae</i> und.	3.8	薄片螺羸蜚 <i>Corophium lamellatum</i>	1.5
锤角全刺沙蚕 <i>Nectoneanthes alatopalpis</i>	2.9	奇异稚齿虫 <i>Paraprionospio pinnata</i>	1.3
好斗埃蜚 <i>Erithonius pugnax</i>	2.4	稚齿虫 <i>Prionospio pulchra</i>	1.1
寄生蛤 <i>Pseudopythina</i> sp.	2.2		
今岛柄涡虫 <i>Stylochus ijimai</i>	1.6		

2.4.3 群落特征种组成

群落的特征种组成和优势种组成存在明显的差异(表5)。群落Ⅰ的14种优势种中仅有花冈钩毛虫、寡鳃卷吻沙蚕、丝鳃稚齿虫、锤角全刺沙蚕和好斗埃蜚5种是能表征群落特征的特征种。群落Ⅱ的特征种组成较为复杂,有上野螺羸蜚、丝鳃稚齿虫、花冈钩毛虫等12种组成,有9种也是群落的优势种。群落Ⅱ的优势种和特征种组成中,各有3个种类有所差异;群落中优势地位较强的种类为软体动物-波纹巴非蛤,而群落的特征种基本上为多毛类和甲壳类。表明大亚湾西北部大型底栖动物数量上以个体较大的软体动物占优,但群落的组成则以多毛类和甲壳类为主,其组成情况基本上反映了群落的特征。

群落Ⅰ和群落Ⅱ种类组成的不相似性达到82.90%,第一特征种也完全不同。群落Ⅰ的第一特征种为多毛类花冈钩毛虫和寡鳃卷吻沙蚕,而群落Ⅱ的第一特征种则为甲壳类上野螺羸蜚。从特征种的组成上划分,群落Ⅰ是以多毛类-甲壳类为表征,群落Ⅱ则以甲壳类-多毛类-软体动物为表征。

表5 群落特征种组成

Table 5 The discriminating macrobenthic species in different groups

群落 I Group I		贡献率 Contribute/%	群落 II Group II		贡献率 Contribute/%
种类 Species	种类 Species		种类 Species	种类 Species	
花冈钩毛虫 <i>S. hanaokai</i>	27.03	上野螺贏蟲 <i>C. uenoii</i>	23.38		
寡鰓卷吻沙蚕 <i>N. soligobranchia</i>	27.03	丝鰓稚齒蟲 <i>P. malmsgreni</i>	18.19		
絲鰓稚齒蟲 <i>P. malmsgreni</i>	13.51	花冈钩毛虫 <i>S. hanaokai</i>	17.97		
锤角全刺沙蚕 <i>N. alatopalpis</i>	13.51	寡鰓卷吻沙蚕 <i>N. oligobranchia</i>	7.84		
好斗埃蟲 <i>E. pugnax</i>	13.51	粗帝汶蛤 <i>T. scabra</i>	6.50		
		中蜊蟲 <i>M. sp.</i>	5.47		
		<i>Phyllodocidae</i> und.	2.52		
		奇異稚齒蟲 <i>P. pinnata</i>	2.46		
		角海蛹 <i>O. acuminata</i>	2.24		
		薄片螺贏蟲 <i>C. lamellatum</i>	1.54		
		刀明櫻蛤 <i>M. culter</i>	1.44		
		剛鰓蟲 <i>Chaetozone</i> sp.	1.32		

2.5 多样性特征

2.5.1 均匀度

大亚湾西北部海域大型底栖动物均匀度为0.68,变化范围较大(0.16—0.98)。各群落中,以群落I均匀度最高(0.89),其它依次为群落III(0.79)、群落II(0.68)和群落IV(0.16)。

表6 大型底栖动物多样性指数

Table 6 The diversity indices of macrobenthos in North-west Daya Bay

	站位 Station	均匀度(<i>J</i>) Evenness index	丰富度(<i>D</i>) Richness index	多样性指数(<i>H</i>) Shannon-wiener index
群落 I Group I	S1	0.80	2.2	2.01
	S10	0.98	2.4	2.34
	均值	0.89	2.3	2.18
群落 II Group II	S2	0.58	2.1	1.56
	S3	0.82	3.1	2.37
	S4	0.67	5.6	2.46
	S5	0.72	3.4	2.28
	S6	0.62	4.0	2.07
	S7	0.56	4.0	1.89
	S8	0.61	3.5	1.99
	S9	0.87	5.0	3.00
	均值	0.68	3.8	2.20
群落 III Group III	S11	0.79	6.0	2.98
群落 IV Group IV	S12	0.16	1.2	0.35
全海域均值 Average		0.68	3.5	2.11

2.5.2 物种丰富度

大亚湾西北部海域大型底栖动物物种丰富度指数为3.5,变化范围较大(1.2—5.6)。各群落中,以群落III丰富度最高(6.0),其它依次为群落II(3.8)、群落I(2.3)和群落IV(1.2)。

2.5.3 多样性指数

大亚湾西北部海域大型底栖动物多样性指数为2.11,变化范围较大(0.35—3.00)。各群落中,以群落III多样性指数最高(2.98),其它依次为群落II(2.20)、群落I(2.18)和群落IV(0.35)。

2.5.4 多样性水平

各群落的种类优势度曲线的变化趋势有所差异,群落IV的优势度曲线明显高于其它群落,第一种粗帝汶蛤的丰度比例就超过了90%;群落I前13种的累积丰度超过90%,其中侧底理蛤所占比例为21.3%,其它种类为寡鳃卷吻沙蚕、花冈钩毛虫、寡节甘吻沙蚕、三齿螺羸蚌、丝鳃稚齿虫等,所占比例均低于20.0%;群落II前21种的累积丰度超过90%,其中上野螺羸蚌所占比例为25.1%,其它种类为丝鳃稚齿虫、花冈钩毛虫、粗帝汶蛤、三齿螺羸蚌和中蚓虫等,所占比例均低于15.0%;群落III前25种的累积丰度超过90%,其中日本长尾虫和好斗埃蚌所占比例较为接近,分别为17.8%和17.4%,两种占总丰度的35.2%。第三位的是夏威夷亮钩虾,占总丰度的11.3%。其它种类为短刀偏文昌鱼、博氏双眼钩虾、粗帝汶蛤、畸形鎌肢虫和瘤突地钩虾等,所占比例均低于5%。

通过种类的k-优势度曲线的分布/图形分析,进行多样性水平的分析与评价。种类的k-优势度曲线(依种类排序的丰度累积百分比图)是用来检验种类丰度组成中包含的优势种类的多少^[10],可用于物种多样性水平的评价^[11]。图中x轴是种类依丰度的重要性(对数)排序,y轴是丰度优势度的累积百分比。在图中最下方的曲线代表多样性水平最高的群落,最上方的曲线则代表多样性最低的群落。如图4所示,4个群落中,群落III的k-优势度曲线始终位于最下方,群落中累积丰度达到90%所包含的种类数最多,达到25种,且各种所占比例差异较小。群落IV中仅粗帝汶蛤一种所占比例就高达92.1%,而其它种类所占比例均低于2.0%。因此,群落III的多样性水平最高,群落IV的多样性水平最低。群落II与群落I的多样性水平与群落III较为接近,分别居第二位和第三位。

2.6 群落稳定性

如图5所示,4个群落的丰度生物量的ABC曲线均未出现交叉、翻转和重叠的现象,丰度的优势度曲线始终位于生物量优势度曲线的下方,表明大亚湾西北部大型底栖动物群落未受到明显的扰动,生物群落的稳定较好。

通过对比4个群落ABC曲线中丰度和生物量曲线之间的距离,群落I和群落II的稳定性最好。而群落III和群落IV两条曲线之间的距离较近,表明群落III和群落IV受到一定程度的扰动,群落稳定性较群落I和群落II差,尤其以群落IV的稳定性最弱。

3 讨论

3.1 群落差异

优势种和特征种的组成差异,反映出群落I与群落II之间存在明显的差别。以现场实测的水环境和沉积环境各因子与底栖生物数量分布之间的关系进行分析,表明底栖生物数量分布与海水盐度、海水溶解氧、悬浮物、pH、营养盐、重金属和沉积物总石油烃、有机质、硫化物之间没有显著的相关性,但与沉积物锌含量呈显著负相关。沉积物各因子与底栖生物丰度的相似性矩阵的相关性分析表明,底栖生物与沉积环境之间存在极为显著的相关性($\rho=0.447, P=0.002$)。说明大亚湾西北部大型底栖动物的分布与具体环境因子之间的相关性不明显,但受沉积环境各因子的综合影响极为显著。通过沉积环境各因子的主成份分析表明,各因子中硫化物、Cu和Zn的含量对底栖生物的影响较其它因子明显。

从分布的区域来看,群落I分布在水深较深的区域内,平均水深为6.8m;群落II基本上分布于近岸水域,

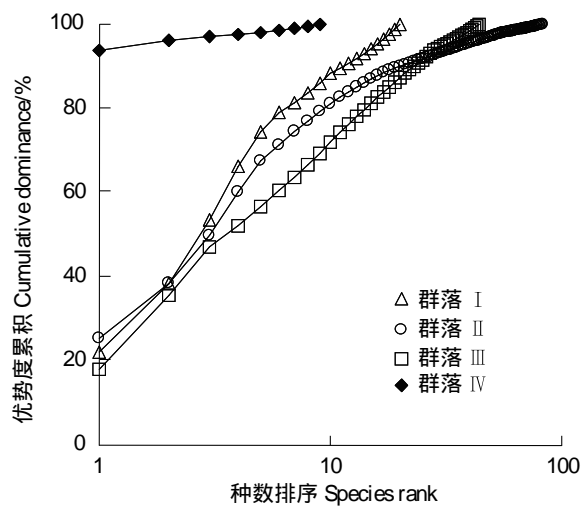


图4 大型底栖动物丰度的k-优势度曲线

Fig. 4 K-dominance curves of macrobenthos abundance

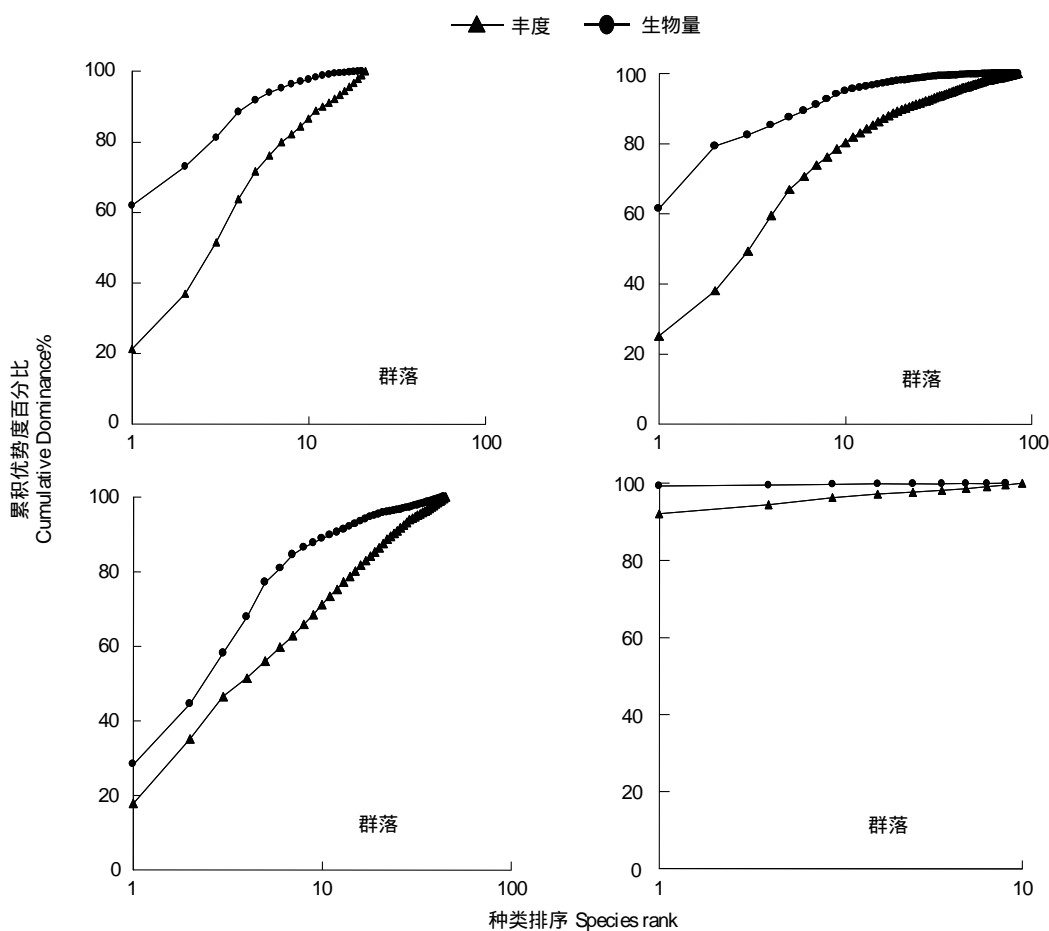


图5 大亚湾西北部大型底栖动物ABC曲线

Fig. 5 ABC curves of macrobenthic groups in North-west Daya Bay

平均水深4.6m,距河口最近S2站的水深仅有1.0m,说明水深是对大型底栖动物群落结构影响较大的因子之一^[6,12]。从栖息环境来看,群落Ⅱ所在区域有淡水汇入,分布区域内有大面积的太平洋牡蛎吊养。群落Ⅱ分布区域是大亚湾湾内水交换能力最弱的区域之一,牡蛎吊养产生大量的生物沉降外,还会阻碍水交换,加速淡水带来的大量悬浮物质在该区域内的沉降作用。生物沉降和物理沉降作用,会使该区域沉积物有机物的含量增加及营养水平的提高分布,而有机物和营养盐也是影响大型底栖动物群落的因素之一^[6,9]。群落Ⅱ所在区域内沉积物有机质和硫化物的含量(1.45%、 278.4×10^{-6}),水体悬浮物和活性磷酸盐的含量(33.2 mg/L、0.025mg/L)均高于群落Ⅰ的分布区(1.06%、 149.8×10^{-6} 、27.7 mg/L、0.018mg/L)。因此,淡水汇入和牡蛎吊养造成栖息环境的差异,也是造成群落间差异的因素之一。

3.2 群落多样性水平

标志沉积物污染状况的重金属含量对大型底栖动物多样性有较大的影响,沉积物中重金属含量高的区域大型底栖动物多样性低^[13]。通过对4个群落所在区域沉积物中Cu、Pb、Zn、Cr、Hg和As等6种重金属含量的标准值进行比较,各群落所在区域含量顺序:群落Ⅲ(0.13)<群落Ⅳ(0.35)<群落Ⅱ(0.46)<群落Ⅰ(0.49)。除群落Ⅳ所在区域重金属含量较低,但群落多样性水平最低外,各群落所在区域沉积物重金属含量高低基本上反应了大型底栖动物多样性水平差别。表明群落Ⅳ除重金属的影响外,还有其它的影响因素。群落Ⅳ所在区域有南海石化的航道通过,航道建设和疏浚工程破坏和改变了原有的底质环境,短期内对大型底栖动物群落的直接影响表现为种类减少、丰度及生物量的降低^[14]。底质环境的稳定需要较长的时间,在这个过程中,生物多样性会出现明显下降的现象。因此,航道建设和疏浚工程带来的底质环境扰动和改变,可能是造成群

落Ⅳ大型底栖动物低多样性水平的主要因素。

3.3 群落稳定性

大亚湾西北部大型底栖动物群落的稳定性较好,群落的ABC曲线反映出各群落均未受到明显的扰动,但对比各群落丰度和生物量曲线之间的距离,可以发现群落Ⅲ和群落Ⅳ丰度和生物量曲线之间距离较近,表明这两个群落还是受到一定程度的扰动。群落Ⅰ分布于澳头港和南海石化码头外的海域内,虽然该区域附近建设有码头,海域内有船只频率往来,但海域内基本上没有大的航道通过、没有渔业生产活动开展,表现为人为扰动影响较小。因此,群落Ⅰ具有良好的稳定性;群落Ⅱ所在海域内有大面积的牡蛎吊养生产,沿岸也有围填海工程建设开展。虽然牡蛎吊养生产带来生物沉降和物理沉降作用,使海域内底质环境的有机质含量和营养水平提高,但该海域内牡蛎吊养生产活动开展的时间较短,而且吊养的牡蛎在自然状态下生长,没有人为投入饵料,对底质环境的扰动和影响远较网箱养殖小。此外,群落Ⅱ包含种类较多,优势种和特征种的组成较为复杂,群落也具有较高的多样性水平。复杂的种类组成和较高的物种多样性有助于提高生物群落对外来干扰的抵抗能力,因此群落也具有良好的稳定性;群落Ⅲ所在区域是大亚湾海域内甲壳类资源较为丰富的海域,也是拖虾船只传统的作业场所。底拖网渔业生产活动虽然对底质环境的扰动较大,但其对海域底栖环境的“播种”作用,能使大型底栖动物的数量上升^[15]。因此,群落Ⅲ虽然显示出受到一定程度的扰动,但群落的多样性依然保持较高的水平;群落Ⅳ所在区域有航道通过,4个群落中其包含种类最少,多样性水平最低。航道建设和疏浚工程往往回彻底改变底栖生境,而底栖生境的恢复需要漫长的过程^[16],是对底质环境最为强烈的扰动。因此,群落Ⅳ的稳定性最弱。

致谢:样品鉴定得到了国家海洋局第三海洋研究所江锦祥研究员、李荣冠研究员、郑凤武研究员、郑成祥研究员等的帮助,写作过程中得到了中国水产科学研究院南海水产研究所吴进锋研究员和邱永松研究员的指导,英国东安格利亚大学环境科学院 William W. L. Cheung 博士对英文摘要进行了修改和润色,课题组其它成员在外业调查、样品采集、分析过程中给予帮助,特此致谢。

References:

- [1] Wang Z D, Lian J S, Hu J X, Wei G F. Characteristics of degraded ecosystem in Daya Bay China, Ecologic Science, 2003, 22(4), 313-320.
- [2] Wang Y S, Wang Z D, Huang L M. Environment changes and trends in Daya Bay in recent 20 years. Journal of Tropical Oceanography, 2004, 23(5), 85-95.
- [3] Kroncke I. Long-term change in North Seabenthos. Sencken bergiana Marit, 1995, 26(1/2), 73-80.
- [4] Du F Y, Wang X H, Li C H, Zhang H H, Jia X P. Macrofaunal community structure in Daya Bay, South China Sea. ACTA Ecologica Sinica, 2009, 29(3), 1091-1098.
- [5] Standardization Administration of China. GB/T 12763. 6—2007 Specifications for oceanographic (survey-Part 6: Marine biological survey). Beijing: Standards Press of China, 2007.
- [6] Han J, Zhang Z N, Yu Z S. Macrofaunal community structure in the southern and central Bohai Sea, China. Acta Ecologica Sinica, 2004, 24(3), 531-537.
- [7] Yuan W, Zhang Z N, Yu Z S, Deng K. A study of macrofauna in the Northwest of Jiaozhou Bay. Periodical of Ocean University of China, 2006, 36(Sup.), 91-97.
- [8] Yuan X Z, Lu J J. Influence of diking on the benthic macro-invertebrate community structure and diversity in the south bank of Changjiang Estuary. Acta Ecologica Sinica, 2001, 21(10), 1642-1647.
- [9] Sun Y W, Cao L, Qing Y T, Wang J H, Cheng X S. Analysis of macrofaunal community structure in the adjacent sea area of Changjiang River Estuary. Marine Science Bulletin, 2007, 26(2):66-70.
- [10] Ellis J R, Rogers S I, Freeman S M. Demersal assemblages in the Irish Sea, St George's Channel and Bristol Channel. Estuarine Coastal and Shelf Science, 2000, 51(3), 299-315.
- [11] Plate H M, Shaw K M, Lambshead P J D. Nematode species abundance patterns and their use in the detection of environmental perturbations. Hydrobiologia, 1984, 118(1), 59-66.
- [12] Bi H S. The environmental influences on macrofauna in Jiaozhou Bay. Marine Science, 1997, (1), 37-40.
- [13] Han J, Zhang Z N, Yu Z S. Macrofaunal species diversity in southern and central Bohai Sea, China. Biodiversity Science, 2003, 11(1), 20-27.
- [14] Newell R C, Seiderer L J, Hitchcock D R. The impact of dredging works in coastal waters: a review of the sensitivity to disturbance and subsequent recovery of biological resources on the sea bed. Oceanography and Marine Biology Annual Review, 1998, 36:127-178.

- [15] Du F Y, Wang X H, Li C H, Jia X P. The variability in secondary productivity of macrobenthos in Daya Bay, South China Sea. Chinese Journal of Applied Ecology, 2008, 19(4), 873-880.
- [16] Zhong J C, Fan C X. Advance in the study on the effectiveness and environmental impact of sediment dredging. Journal Lake Science, 2007, 19(1), 1-10.

参考文献:

- [1] 王肇鼎,练健生,胡建兴,韦桂峰. 大亚湾生态环境退化现状与特征. 生态科学,2003,22(4):313-320.
- [2] 王友绍,王肇鼎,黄良民. 近20年来大亚湾生态环境的变化及其发展趋势. 热带海洋学报,2004,23(5):85-95.
- [4] 杜飞雁,王雪辉,李纯厚,张汉华,贾晓平. 大亚湾大型底栖动物的群落结构分析. 生态学报,2009,29(3):1091-1098.
- [5] 中国国家标准化管理委员会. GB/T 12763.6—2007 海洋调查规范(第6部分 海洋生物调查). 北京: 中国标准出版社, 2007.
- [6] 韩洁,张志南,于子山. 渤海中、南部大型底栖动物的群落结构. 生态学报,2004,24(3):531-537.
- [7] 袁伟,张志南,于子山,邓可. 胶州湾西北部海域大型底栖动物群落研究. 中国海洋大学学报,2006,36(增刊):91-97.
- [8] 袁兴中,陆健健. 围垦对长江口南岸底栖动物群落结构及多样性的影响. 生态学报,2001,21(10):1642-1647.
- [9] 孙亚伟,曹恋,秦玉涛,王金辉,程祥圣. 长江口邻近海域大型底栖生物群落结构分析. 海洋通报,2007,26(2):66-70.
- [12] 毕洪生. 胶州湾环境对底栖生物的影响. 海洋科学,1997,(1):37-40.
- [13] 韩洁,张志南,于子山. 渤海中、南部大型底栖动物物种多样性的研究. 生物多样性,2003,11(1):20-27.
- [15] 杜飞雁,王雪辉,李纯厚,贾晓平. 大亚湾大型底栖动物生产力变化特征初探. 应用生态学报,2008,19(4):873-880.
- [16] 钟继承,范成新. 底泥疏浚效果及环境效应研究进展. 湖泊科学,2007,19(1):1-10.

附名录

叶须虫科 PHYLLODOCIDAE

Phyllodocidae und. *Phyllodocidae* und.

多鳞虫科 POLYNOIDAE

非拟海鳞虫 *Nonparahalosydnus pleiolepis*

方背鳞虫 *Lepidonotus squamatus*

覆瓦哈鳞虫 *Harmothoe imbricata*

哈鳞虫 *Harmothoe* sp.

蠕鳞虫科 ACOETIDAE

黑斑蠕鳞虫 *Acoetes melanonota*

锡鳞虫科 SIGALIONIDAE

日本强鳞虫 *Sthenolepis japonica*

金扇虫科 CHRYSOPETALIDAE

短卷虫 *Bhawania brevis*

海女虫科 HESIONEDAE

结海虫 *Leocrates chinensis*

狭细蛇潜虫 *Ophiodromus angustifrons*

Podarkeopsis sp. *Podarkeopsis* sp.

白毛虫科 PILARGIIDAE

花冈钩毛虫 *Sigambra hanaokai*

钩毛虫 *Sigambra* sp.

裂虫科 SYLLIDAE

Syllidae und. *Syllidae* und.

沙蚕科 NEREIDAE

光突齿沙蚕 *Leonnates persica*

异须沙蚕 *Nereis heterocirrata*

多齿全刺沙蚕 *Nectoneanthes multignatha*

锤角全刺沙蚕 *Nectoneanthes alatopalpis*

吻沙蚕科 GLYCERIDAE

倦旋吻沙蚕 *Glycera convoluta*

白色吻沙蚕 *Glycera alba*

角吻沙蚕科 GONIADIDAE

寡节甘吻沙蚕 *Glycinde gurjanvae*

齿吻沙蚕科 NEPHTYIDAE

双鳃内卷齿蚕 *Aglaophamus dibranchis*

叶须内卷齿蚕 *Aglaophamus lobatus*

东方内卷齿蚕 *Aglaophamus orientalis*

内卷齿蚕 *Aglaophamus* sp.

寡鳃卷吻沙蚕 *Nephthys oligobranchia*

球小卷吻沙蚕 *Micronephthys sphaerocirrata*

锥头虫科 ORBINIIDAE

居虫 *Naineris* sp.

单指虫科 COSSURIDAE

单指虫 *Cossura* sp.

海稚虫科 SPIONIDAE

才女虫 *Polydora* sp.

海稚虫 *Spio* sp.

腹沟虫 *Scolelepis* sp.

丝鳃稚齿虫 *Prionospio malmgreni*

袋稚齿虫 *Prionospio ehlersi*

稚齿虫 *Prionospio pulchra*

稚齿虫 *Prionospio cf. sexoculata*

奇异稚齿虫 *Paraprionospio pinnata*

Spionidae und. *Spionidae* und.

长手沙蚕科 MAGELONIDAE

栉状长手沙蚕 *Magelona crenulifrons*

丝鳃虫科 CIRRATULIDAE

刚鳃虫 *Chaetozone* sp.

细丝鳃虫 *Cirratulus filiformis*

毛须鳃虫 *Cirriformai filigera*

独毛虫 *Tharyx* sp.

小头虫科 CAPITELLIDAE

小头虫 *Capitella capitata*

中蚓虫 *Mediomastus* sp.

异蚓虫 *Heteromastus* sp.

背蚓虫 *Notomastus latericeus*

海蛹科 OPHELIIDAE

阿曼吉虫 *Armandia* sp.

角海蛹 *Ophelina acuminata*

仙女虫科 AMPHINOMIDAE

拟刺虫 *Linopherus* sp.

欧努菲虫科 ONUPHIDAE

智利巢沙蚕 *Diopatra chiliensi*

矶沙蚕科 EUNICIDAE

滑指矶沙蚕 *Eunice indica*

扁平岩虫 *Marphysa depressa*

索沙蚕科 LUMBRINERIIAE

纳加索沙蚕 <i>Lumbrineris nagae</i>	岩瓷蟹 <i>Petrolistes</i> sp.
花索沙蚕科 ARABELLIDAE	鼓虾科 ALPHEIDAE
线沙蚕 <i>Drilonereis filum</i>	日本鼓虾 <i>Alpheus japonicus</i>
不倒翁虫科 STERNASPIDAE	梭子蟹科 PORTUNIDAE
不倒翁虫 <i>Sternaspis scutata</i>	变态蟳 <i>Charybdis variegata</i>
笔帽虫科 PECTINARIDAE	长脚蟹科 GONEPLACIDAE
笔帽虫 <i>Pectinaria</i> sp.	太阳强蟹 <i>Eucrate solaris</i>
双栉虫科 AMPHARETIDAE	扇蟹科 XANTHIDAE
Ampharete macrobranchia	特异扇蟹 <i>Xantho distinguendus</i>
等栉虫 <i>Isolda pulchella</i>	长脚蟹科 GONEPLACIDAE
毛鳃虫科 TRICHOBRACHIDAE	齿腕拟盲蟹 <i>Typhlocarcinops denticarpes</i>
梳鳃虫 <i>Terebellides stroemii</i>	豆蟹科 PINNOTHERIDAE
蛰龙介科 TEREBILLIDAE	模糊新短眼蟹 <i>Neoxenopthalmus obscurus</i>
似蛰虫 <i>Amaeana</i> sp.	牡蛎科 OSTREIDAE
扁蛰虫 <i>Loimia medusa</i>	长牡蛎 <i>Crassostrea gigas</i>
树蛰虫 <i>Pista</i> sp.	拉沙蛤科 LASAEIDAE
长吻海蜘蛛科 NYMPHONIDAE	寄生蛤 <i>Pseudopythina</i> sp.
日本长吻海蜘蛛 <i>Nynphon japonicum</i>	猿头蛤科 CHAMIDAE
藤壶科 BALANIDAE	草莓猿头蛤 <i>Chama fraga</i>
三角藤壶 <i>Balanus trigonus</i>	櫻蛤科 TELLINIDAE
涟虫科 BODOTRIIDAE	西咪櫻蛤 <i>Cadella semen</i>
细长涟虫 <i>Iphinoe tener</i>	刀明櫻蛤 <i>Moerella culter</i>
针尾涟虫科 DIASTYLIDAE	白櫻蛤 <i>Macoma</i> sp.
三叶针尾涟虫 <i>Diastylis tricincta</i>	双带蛤科 SEMELIDAE
长尾虫科 ASPEUDIDAE	侧底理蛤 <i>Theora lata</i>
日本长尾虫 <i>Aspeudes nipponicus</i>	帘蛤科 VENERIDAE
畸形鎗肢虫 <i>Sphyrapus anomalus</i>	粗帝汶蛤 <i>Timoclea scabra</i>
仿原足虫科 PARATANAIDAE	美叶雪蛤 <i>Clausinella calophylla</i>
细螯原足虫 <i>Leptochelia dubia</i>	波纹巴非蛤 <i>Paphia undulata</i>
巨颤水虱科 GNATHIIDAE	帽贝科 PATELLIDAE
锯齿巨颤水虱 <i>Gnathia dentata</i>	帽贝 <i>patelloidea</i> sp.
拟背尾水虱科 PARANTHURIDAE	锥螺科 TURRITELLIDAE
日本拟背尾水虱 <i>Paranthura japonica</i>	棒锥螺 <i>Turritella bacillum</i>
双眼钩虾科 AMPELISCIDAE	壳蛞蝓科 PHILINIDAE
美原双眼钩虾 <i>Ampelisca miharaensis</i>	经氏壳蛞蝓 <i>Philine kinglipini</i>
博氏双眼钩虾 <i>Ampelisca bocki</i>	沙菜科 HYPNEACEAE
短角双眼钩虾 <i>Ampelisca brevicornis</i>	鹿角沙菜 <i>Hypnea cervicornis</i>
利尔钩虾科 LILJEBORGIIIDAE	丛柳珊瑚科 PLEXAURIDAE
中华利尔钩虾 <i>Liljeborgia sinica</i>	丛柳珊瑚 <i>Euplexaura</i> sp.
弯指伊氏钩虾 <i>Idunella curvidactyla</i>	柄涡科 STYLOCHIDAE
钩虾科 GAMMARIDAE	今岛柄涡虫 <i>Stylochus ijimai</i>
塞切尔西钩虾 <i>Eriopisella sechellensis</i>	纽形动物 NEMERTINEA
螺羸虫科 COROPHIIDAE	纽虫 <i>Nemertinea</i> und.
好斗埃虫 <i>Erithonius pugnax</i>	革囊星虫科 PHASCOLOSOMATIDAE
日本大鳌虫 <i>Grandidierella japonica</i>	革囊星虫 <i>Phascolosoma</i> sp.
凯特螺羸虫 <i>Corophium kitamorii</i>	草苔虫科 BUGULIDAE
薄片螺羸虫 <i>Corophium lamellatum</i>	多室草苔虫 <i>Bugula neritina</i>
三齿螺羸虫 <i>Corophium tridentum</i>	阳遂足科 AMPHIURIDAE
上野螺羸虫 <i>Corophium uenoi</i>	倍棘蛇尾 <i>Amphioplus</i> sp.
杯尾螺羸虫 <i>Corophium</i> sp.	克氏三齿蛇尾 <i>Amphiodia (Amphispina) clarki</i>
夏威夷亮钩虾 <i>Photis hawaiensis</i>	近辐蛇尾 <i>Ophiactis affinis</i>
地钩虾科 PODOCERIDAE	裂星海胆科 SCHIZASTERIDAE
瘤突地钩虾 <i>Podocerus tuberculatus</i>	凹裂星海胆 <i>Schizaster lacunosus</i>
麦杆虫科 CAPRELLIDAE	文昌鱼科 AMPHIOXIDAE
圆鳃麦杆虫 <i>Caprella penantis</i>	短刀偏文昌鱼 <i>Asymmefron culfellum</i>
瓷蟹科 PORCELLANIDAE	

ACTA ECOLOGICA SINICA Vol. 31, No. 23 December, 2011 (Semimonthly)
CONTENTS

Satellite-based modelling light use efficiency of alpine meadow along an altitudinal gradient	FU Gang, ZHOU Yuting, SHEN Zhenxi, et al (6989)
Changes in the concentrations of airborne <i>Picea schrenkiana</i> pollen in response to temperature changes in the Tianshan Mountain area	PAN Yanfang, YAN Shun, MU Guijin, et al (6999)
Primary production in the Bay of Bengal during spring intermonsoon period	LIU Huaxue, KE Zhixin, SONG Xingyu, et al (7007)
Effect of rainfall regimes on the decomposition rate of yak dung in an alpine meadow of northwest Sichuan Province, China	WU Xinwei, LI Guoyong, SUN Shucun (7013)
SOFM-based nutrient cycling classification of forest ecosystems in the Loess Plateau	CHEN Kai, LIU Zengwen, LI Jun, et al (7022)
Characterization of the responses of photosynthetic and chlorophyll fluorescence parameters to water stress in seedlings of six provenances of Chinese Pine (<i>Pinus tabulaeformis</i> Carr.)	WANG Yan, CHEN Jianwen, et al (7031)
Effect of silicon supply on Tall Fescue (<i>Festuca arundinacea</i>) growth under the salinization conditions	LIU Huixia, GUO Xinghua, GUO Zhenggang (7039)
Effects of high-temperature stress on physiological characteristics of leaves of <i>Simmondsia Chinensis</i> seedlings from different provenances	HUANG Weiwei, ZHANG Niannian, HU Tingxing, et al (7047)
Soil moisture dynamics of water and soil conservation forest on the Loess Plateau	ZHANG Jianjun, LI Huimin, XU Jiajia (7056)
The distribution of male and female <i>Populus cathayana</i> populations along an altitudinal gradient	WANG Zhifeng, XU Xiao, LI Xiaofeng, et al (7067)
Analysis on the characteristics of macrobenthos community in the North-west Daya Bay of South China Bay in spring	DU Feiyan, LIN Qin, JIA Xiaoping, et al (7075)
The effects of season and environmental factors on community structure of planktonic copepods in Zhanjiang Bay, China	ZHANG Caixue, GONG Yuyan, WANG Xuefeng, et al (7086)
Population genetic structure of <i>Pneumatophorus japonicus</i> in the Taiwan Strait	ZHANG Liyan, SU Yongquan, WANG Hangjun, et al (7097)
Seasonal variation of nitrogen and phosphorus in Miju River and Lake Erhai and influencing factors	YU Chao, CHU Jinyu, BAI Xiaohua, et al (7104)
Population dynamics and production of <i>Bellamya aeruginosa</i> (Reeve) (Mollusca: Viviparidae) in artificial lake for transgenic fish, Wuhan	XIONG Jing, XIE Zhicai, JIANG Xiaoming, et al (7112)
Carbon, nitrogen and phosphorus ecological stoichiometric ratios among live plant-litter-soil systems in estuarine wetland	WANG Weiqi, XU Linglin, ZENG Congsheng, et al (7119)
Effects of EDTA on growth and lead-zinc accumulation in maize seedlings grown in amendment substrates containing lead-zinc tailings and soil	WANG Hongxin, HU Feng, XU Xinwang, et al (7125)
Effects of different coated controlled-release urea on soil ammonia volatilization in farmland	LU Yanyan, SONG Fupeng (7133)
Effects of ridge planting on the photosynthetic characteristics and yield of summer maize in high-yield field	MA Li, LI Chaohai, FU Jing, et al (7141)
Effect of timing of DCD application on nitrous oxide emission during wheat growing period	JI Yang, YU Jia, MA Jing, et al (7151)
The role of the fertilizing with nitrogen, calcium and sodium chloride in winter wheat leaves adaptation to freezing-thaw stress	LIU Jianfang, ZHOU Ruilian, ZHAO Mei, et al (7161)
Environment impact assessment of organic and conventional soybean production with LCA method in China Northeast Plain	LUO Yan, QIAO Yuhui, WU Wenliang (7170)
Effects of selenium added to soil on physiological indexes in flue-cured tobacco	XU Zicheng, SHAO Huifang, SUN Shuguang, et al (7179)
Influence of different planting patterns on field microclimate effect and yield of peanut (<i>Arachis hypogaea</i> L.)	SONG Wei, ZHAO Changxing, WANG Yuefu, et al (7188)
Rapid cold hardening of Western flower thrips, <i>Frankliniella occidentalis</i> , and its ecological cost	LI Hongbo, SHI Liang, WANG Jianjun, et al (7196)

- Effects of temperature on body color in *Sitobion avenae* (F.) DENG Mingming, GAO Huanhuan, LI Dan, et al (7203)
Development and reproduction of *Bemisia tabaci* biotype B on wild and cultivated tomato accessions GAO Jianchang, GUO Guangjun, GUO Yanmei, et al (7211)
Study on ecological water demand based on assessment of ecosystem disturbance degree in the Baiyangdian Wetland CHEN He, YANG Ying, YU Shiwei, et al (7218)
Emergy-based analysis of two chicken farming systems: a perspective of organic production model in China HU QiuHong, ZHANG Lixiao, WANG Changbo (7227)
Mathematical model design of time-effect relationship analysis about the inhibition of four eighteen-carbon fatty acids on toxic
Microcystis aeruginosa HE Zongxiang, ZHANG Tingting (7235)
Enrichment of heavy metals in the seagrass bed of Liusha Bay XU Zhanzhou, ZHU Aijia, CAI Weixu, et al (7244)
A gradient analysis of urban architecture landscape pattern based on QuickBird imagery ZHANG Peifeng, HU Yuanman, XIONG Zaiping, et al (7251)
Landscape spatial heterogeneity is associated with urbanization: an example from Yangtze River in Jiangsu Province CHE Qianjin, CAO Youhui, YU Lu, et al (7261)
CVM for Taihu Lake based on ecological functions of wetlands restoration, and ability to pay and willingness to pay studies YU Wenjin, XIE Jian, ZOU Xinqing (7271)
- Review and Monograph**
- Progress in research on the marine microbial loop in the Arctic Ocean HE Jianfeng, CUI Shikai, ZHANG Fang, et al (7279)
Research progress in the eco-environmental effects of urban green spaces SU Yongxian, HUANG Guangqing, CHEN Xiuzhi, et al (7287)
Source, exposure characteristics and its environmental effect of heavy metals in urban surface dust FANG Fengman, LIN Yuesheng, WANG Haidong, et al (7301)
- Scientific Note**
- Spatial structures of soil carbon and nitrogen of China fir and Masson pine mixed forest in the Three Gorges Reservoir Areas LIN Yinghua, WANG Laifa, TIAN Xiaokun, et al (7311)
The relationship between *Oligochroa cantonella* Caradja and environmental factors LIU Wenai, FAN Hangqing (7320)

2009 年度生物学科总被引频次和影响因子前 10 名期刊*

(源于 2010 年版 CSTPCD 数据库)

排序 Order	期刊 Journal	总被引频次 Total citation	排序 Order	期刊 Journal	影响因子 Impact factor
1	生态学报	11764	1	生态学报	1.812
2	应用生态学报	9430	2	植物生态学报	1.771
3	植物生态学报	4384	3	应用生态学报	1.733
4	西北植物学报	4177	4	生物多样性	1.553
5	生态学杂志	4048	5	生态学杂志	1.396
6	植物生理学通讯	3362	6	西北植物学报	0.986
7	JOURNAL OF INTEGRATIVE PLANT BIOLOGY	3327	7	兽类学报	0.894
8	MOLECULAR PLANT	1788	8	CELL RESEARCH	0.873
9	水生生物学报	1773	9	植物学报	0.841
10	遗传学报	1667	10	植物研究	0.809

*《生态学报》2009 年在核心版的 1964 种科技期刊排序中总被引频次 11764 次, 全国排名第 1; 影响因子 1.812, 全国排名第 14; 第 1—9 届连续 9 年入围中国百种杰出学术期刊; 中国精品科技期刊

编辑部主任 孔红梅

执行编辑 刘天星 段 靖

生态学报
(SHENGTAI XUEBAO)
(半月刊 1981 年 3 月创刊)
第 31 卷 第 23 期 (2011 年 12 月)

ACTA ECOLOGICA SINICA
(Semimonthly, Started in 1981)
Vol. 31 No. 23 2011

编 辑	《生态学报》编辑部 地址: 北京海淀区双清路 18 号 邮政编码: 100085 电话: (010) 62941099 www. ecologica. cn shengtaixuebao@ rcees. ac. cn	Edited by Editorial board of ACTA ECOLOGICA SINICA Add: 18, Shuangqing Street, Haidian, Beijing 100085, China Tel: (010) 62941099 www. ecologica. cn Shengtaixuebao@ rcees. ac. cn
主 编	冯宗炜	Editor-in-chief FENG Zong-Wei
主 管	中国科学技术协会	Supervised by China Association for Science and Technology
主 办	中国生态学学会 中国科学院生态环境研究中心 地址: 北京海淀区双清路 18 号 邮政编码: 100085	Sponsored by Ecological Society of China Research Center for Eco-environmental Sciences, CAS Add: 18, Shuangqing Street, Haidian, Beijing 100085, China
出 版	科学出版社 地址: 北京东黄城根北街 16 号 邮政编码: 100717	Published by Science Press Add: 16 Donghuangchenggen North Street, Beijing 100717, China
印 刷	北京北林印刷厂	Printed by Beijing Bei Lin Printing House, Beijing 100083, China
发 行	科学出版社 地址: 东黄城根北街 16 号 邮政编码: 100717 电话: (010) 64034563 E-mail: journal@ cspg. net	Distributed by Science Press Add: 16 Donghuangchenggen North Street, Beijing 100717, China Tel: (010) 64034563 E-mail: journal@ cspg. net
订 购	全国各地邮局	Domestic All Local Post Offices in China
国 外 发 行	中国国际图书贸易总公司 地址: 北京 399 信箱 邮政编码: 100044	Foreign China International Book Trading Corporation Add: P. O. Box 399 Beijing 100044, China
广 告 经 营	京海工商广字第 8013 号	
许 可 证		



ISSN 1000-0933
CN 11-2031/Q

国内外公开发行

国内邮发代号 82-7

国外发行代号 M670

定价 70.00 元